



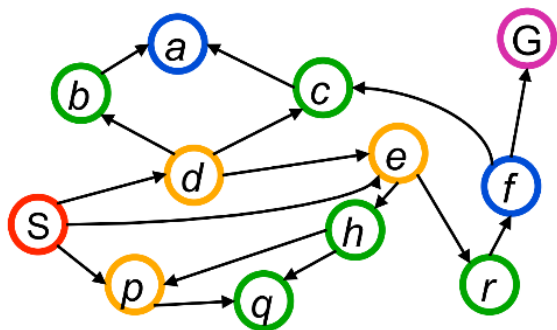
状态栅格规划

State Lattice Planning

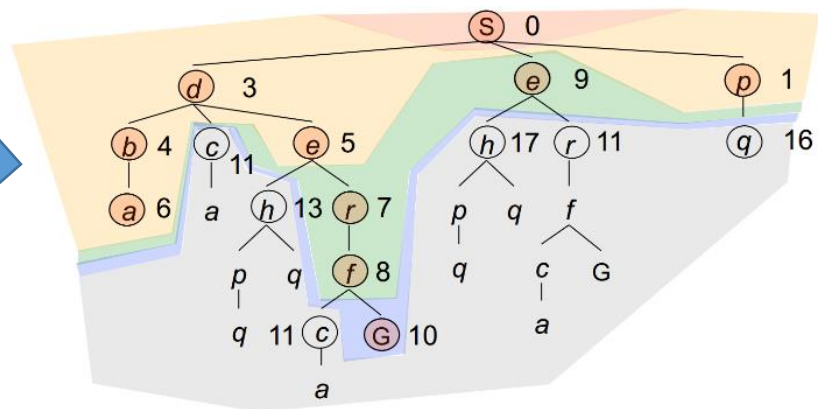


- 基于搜索的路径生成
- 对于规划问题，如何构建一个图？
- 这个图是否适用于我们真实的机器人？

搜索图



搜索树



- 维护一个优先队列来存储所有要扩展的节点
- 对所有节点的启发式函数 $h(n)$ 都是提前定义好的
- 优先队列被起始状态 X_S 初始化
- 在图中对所有节点赋值 $g(X_S)=0, g(n)=\infty$
- Loop
 - 如果队列为空, return FALSE; break;
 - 从队列中 **移除** $f(n)=g(n)+h(n)$ 值最低的节点 "n"
 - 标识节点 "n" 为 **被拓展过的**
 - 若节点 "n" 是目标状态, return TRUE; break;
 - 对于节点 "n" 所有的 **未被拓展过的** 邻居节点 "m"
 - 如果 $g(m) = \infty$
 - $g(m) = g(n) + C_{nm}$
 - 将节点 "m" 加入队列
 - 如果 $g(m) > g(n) + C_{nm}$
 - $g(m) = g(n) + C_{nm}$
- End Loop



- 我们有很多方法去解决图搜索问题
- 假设机器人是一个质点已经不再适用
- 我们现在需要一个具有可行运动连接（**feasible motion connections**）的图



- 我们手动构建一个所有边都可由机器人执行的图



- 这是所有运动动力学规划的基本动机
- State lattice planning 是最直接的一种

• 正向：在
控制空间
采样

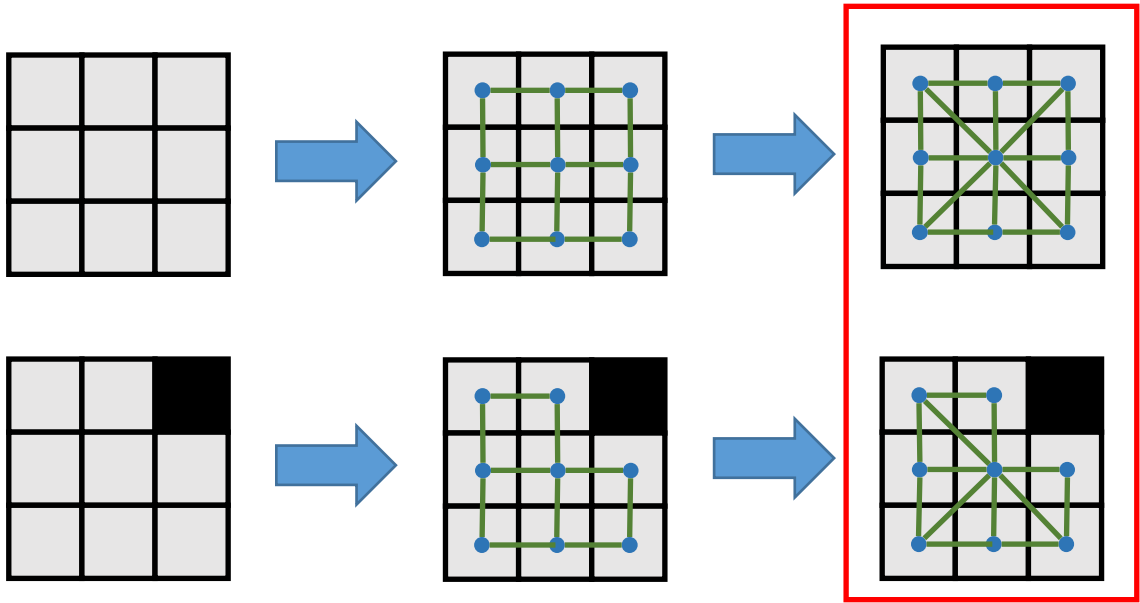
• 反向：在
状态空间
采样



- 我们手动构建一个所有边都可由机器人执行的图

正向：在控制空间采样

反向：在状态空间采样



4 connection

8 connection

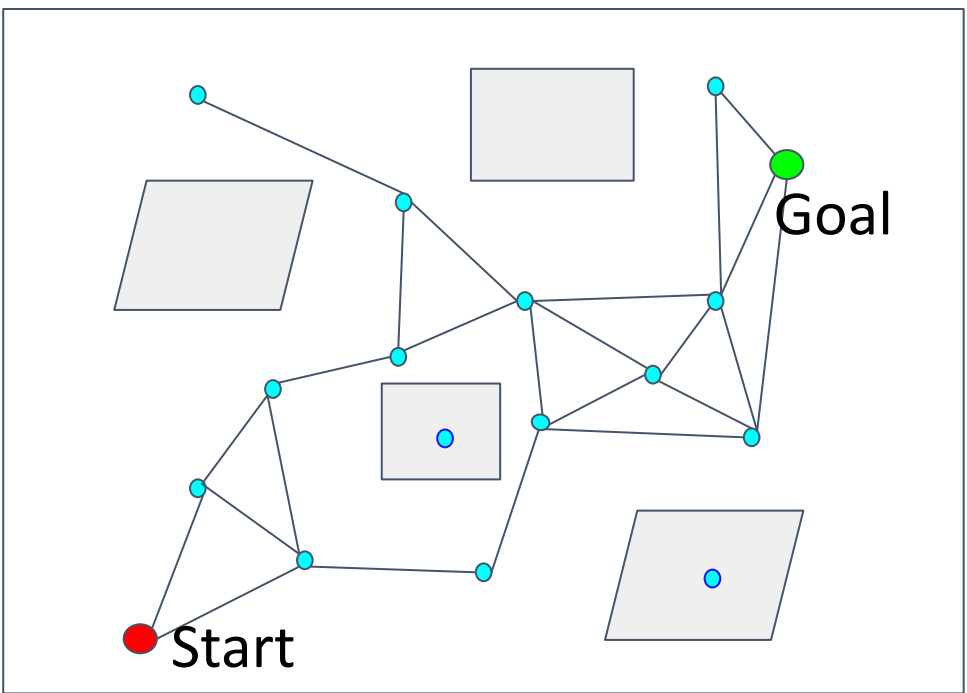
- 实际上，这是在控制空间进行离散化采样
- 我们假设机器人可以向4/8个方向运动



- 我们手动构建一个所有边都可由机器人执行的图

正向：在控制
空间采样

反向：在状态
空间采样



- 实际上，这是在状态空间进行离散化采样
- 这里的状态在 R^2 上，只有位置 (x, y) 被考虑



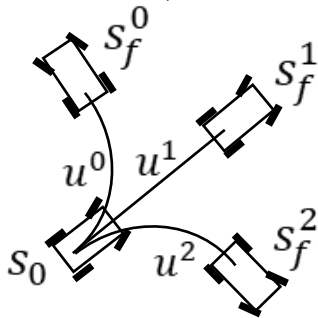
控制空间采样 vs 状态空间采样

浙江大学 · 控制学院

对于一个机器人模型： $\dot{s} = f(s, u)$

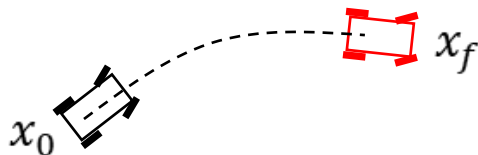
- 机器人可以被微分驱动
- 我们有一个机器人的初始状态 s_0
- 通过下面的方法生成可行的局部运动：

□ 选择一个输入 u ，固定一个持续时间 T ，前向模拟系统（数值积分）



- 前向模拟
- 固定 u, T
- 没有任务引导
- 易于实现
- 低规划效率

□ 选择一个 s_f ，找到两个状态 s_0 和 s_f 之间的连接（一段轨迹）



- 反向计算
- 需要计算 u, T
- 较好的任务引导
- 难以实现
- 高规划效率



控制空间采样

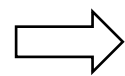
浙江大学 · 控制学院



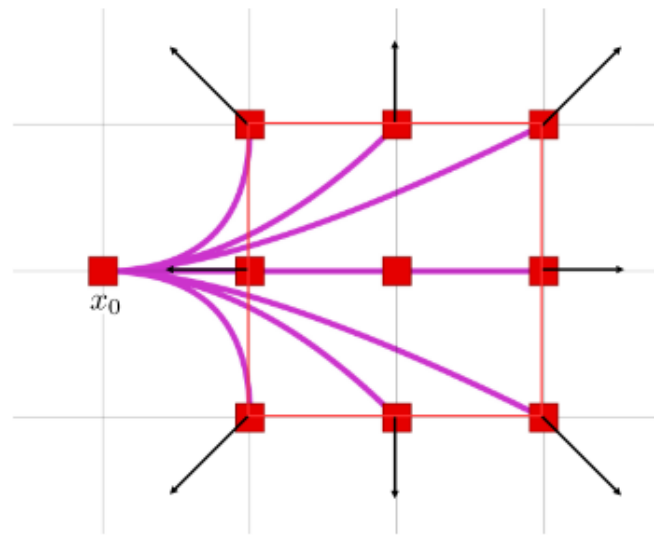
$$\text{State: } s = \begin{pmatrix} x \\ y \\ z \\ \dot{x} \\ \dot{y} \\ \dot{z} \end{pmatrix} \quad \text{Input: } u = \begin{pmatrix} \ddot{x} \\ \ddot{y} \\ \ddot{z} \end{pmatrix}$$

$$\text{System equation: } \dot{s} = A \cdot s + B \cdot u$$

$$A = \begin{bmatrix} 0 & 0 & 0 & 1 & 0 & 0 \\ 0 & 0 & 0 & 0 & 1 & 0 \\ 0 & 0 & 0 & 0 & 0 & 1 \\ 0 & 0 & 0 & 0 & 0 & 0 \\ 0 & 0 & 0 & 0 & 0 & 0 \\ 0 & 0 & 0 & 0 & 0 & 0 \end{bmatrix} \quad B = \begin{bmatrix} 0 & 0 & 0 \\ 0 & 0 & 0 \\ 0 & 0 & 0 \\ 1 & 0 & 0 \\ 0 & 1 & 0 \\ 0 & 0 & 1 \end{bmatrix}$$

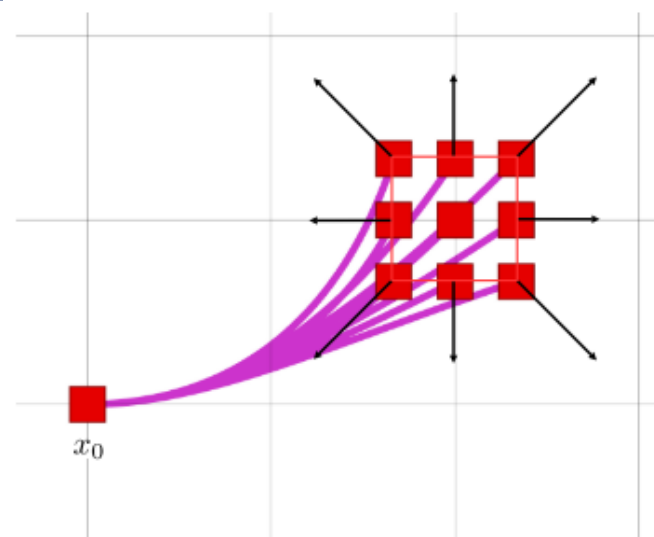


$$\dot{s} = A \cdot s + B \cdot u$$
$$A = \begin{bmatrix} 0 & I_3 & 0 & \dots & 0 \\ 0 & 0 & I_3 & \dots & 0 \\ \vdots & \ddots & \ddots & \ddots & \vdots \\ 0 & \dots & \dots & 0 & I_3 \\ 0 & \dots & \dots & 0 & 0 \end{bmatrix} \quad B = \begin{bmatrix} 0 \\ 0 \\ \vdots \\ 0 \\ I_3 \end{bmatrix}$$



Discretize acceleration

$$v_0 = \begin{bmatrix} 1 \\ 0 \\ 0 \end{bmatrix}$$



Discretize jerk

$$v_0 = \begin{bmatrix} 1 \\ 0 \\ 0 \end{bmatrix}, a_0 = \begin{bmatrix} 0 \\ 1 \\ 0 \end{bmatrix}$$

- 高阶积分器
- 幂零 (nilpotent)



控制空间采样

浙江大学 · 控制学院

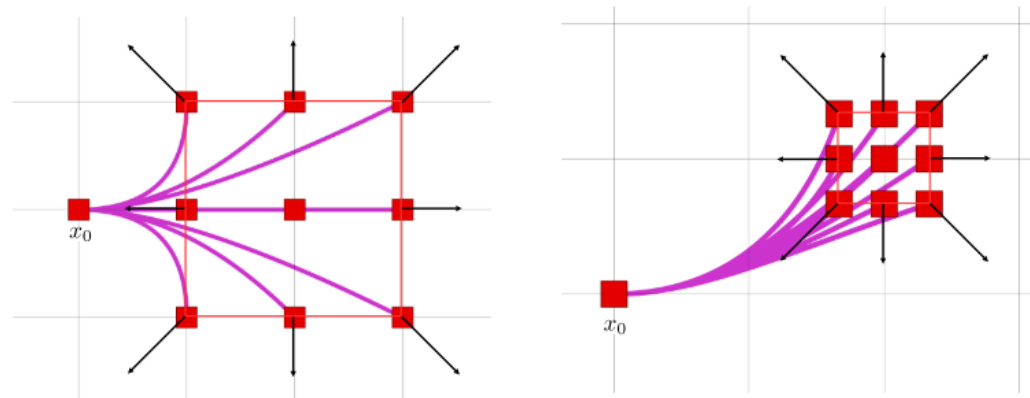


$$\text{State: } s = \begin{pmatrix} x \\ y \\ z \\ \dot{x} \\ \dot{y} \\ \dot{z} \end{pmatrix} \quad \text{Input: } u = \begin{pmatrix} \ddot{x} \\ \ddot{y} \\ \ddot{z} \end{pmatrix}$$

$$\text{System equation: } \dot{s} = A \cdot s + B \cdot u$$

$$\dot{s} = A \cdot s + B \cdot u$$

$$A = \begin{bmatrix} 0 & I_3 & 0 & \cdots & 0 \\ 0 & 0 & I_3 & \cdots & 0 \\ \vdots & \ddots & \ddots & \ddots & \vdots \\ 0 & \cdots & \cdots & 0 & I_3 \\ 0 & \cdots & \cdots & 0 & 0 \end{bmatrix} \quad B = \begin{bmatrix} 0 \\ 0 \\ \vdots \\ 0 \\ I_3 \end{bmatrix}$$



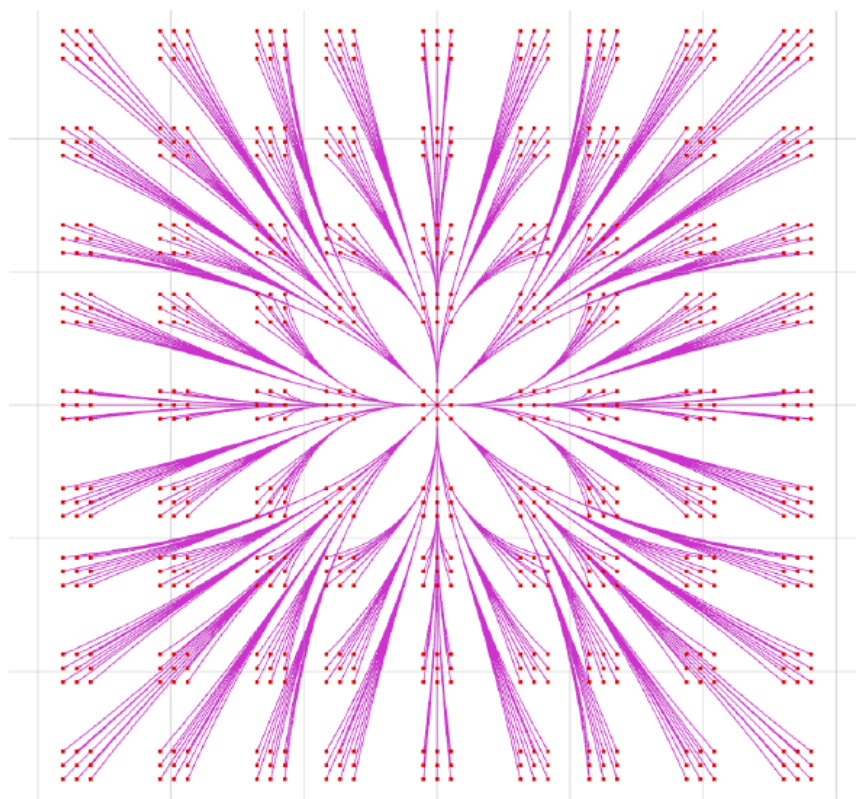
$$s(t) = \underbrace{e^{At}}_{F(t)} s_0 + \underbrace{\left[\int_0^t e^{A(t-\sigma)} B d\sigma \right]}_{G(t)} u_m$$

e^{At} : 状态转移矩阵, 对积分至关重要

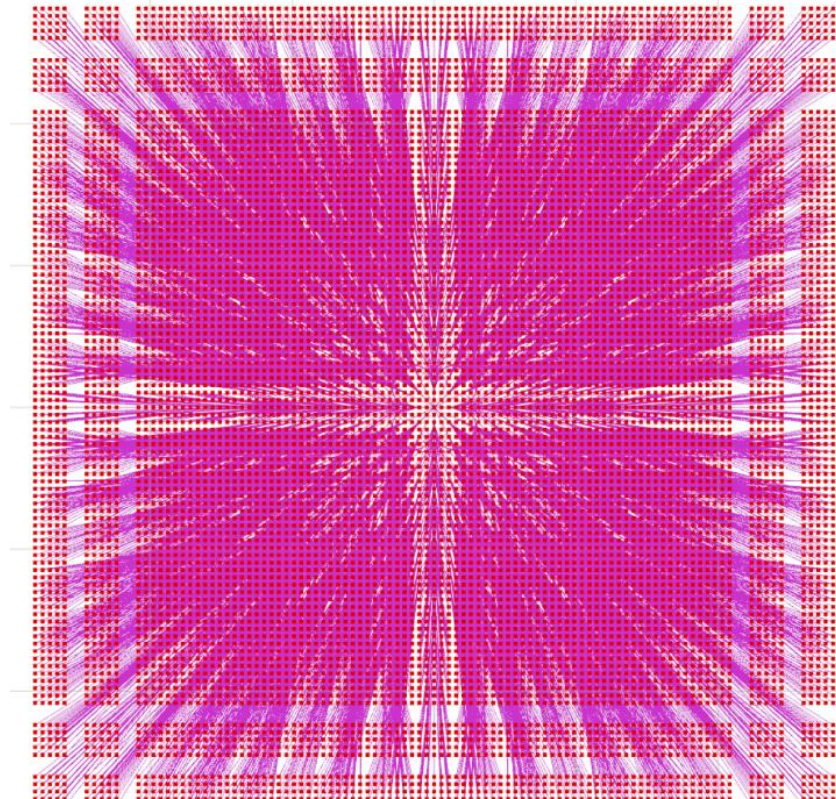
$$e^{At} = I + \frac{At}{1!} + \frac{(At)^2}{2!} + \frac{(At)^3}{3!} + \cdots + \frac{(At)^k}{k!} + \cdots$$

如果矩阵 $A \in R^{n \times n}$ 是幂零的 (nilpotent), 如 $A^n = 0$, 那么 e^{At} 就有一个以 t 为变量的 $(n-1)$ 次矩阵多项式形式的闭式表达

通过搜索得到的图(lattice graph)



9 discretization



25 discretization

Note

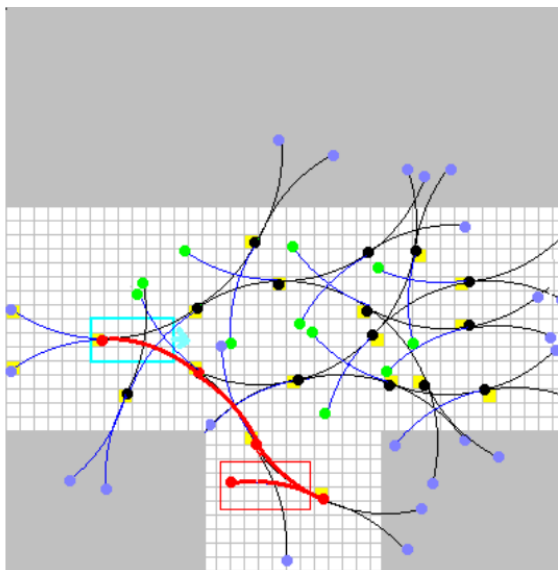
- 在搜索的过程中可以根据需要构建图
- 当新发现节点时，创建节点(状态 state)和边(运动基元 motion primitive)
- 节省计算时间/空间



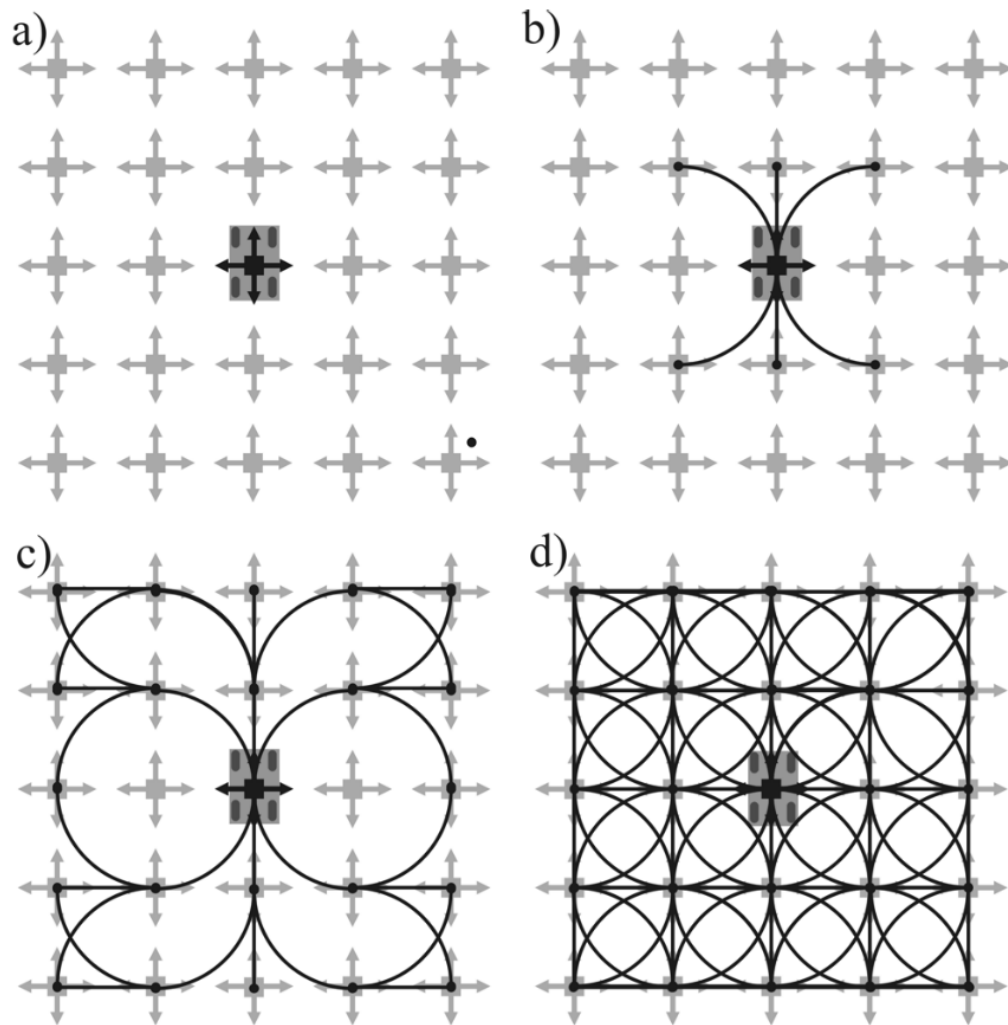
状态: $s = \begin{pmatrix} x \\ y \\ \theta \end{pmatrix}$ 输入: $u = \begin{pmatrix} v \\ \emptyset \end{pmatrix}$

系统模型: $\begin{pmatrix} \dot{x} \\ \dot{y} \\ \dot{\theta} \end{pmatrix} = \begin{pmatrix} v \cdot \cos\theta \\ v \cdot \sin\theta \\ \frac{r}{L} \cdot \tan\phi \end{pmatrix}$

- 从搜索树中找到 $s \in T$
- 选择控制输入 u
- 固定时间，积分
- 将无碰撞运动添加到搜索树



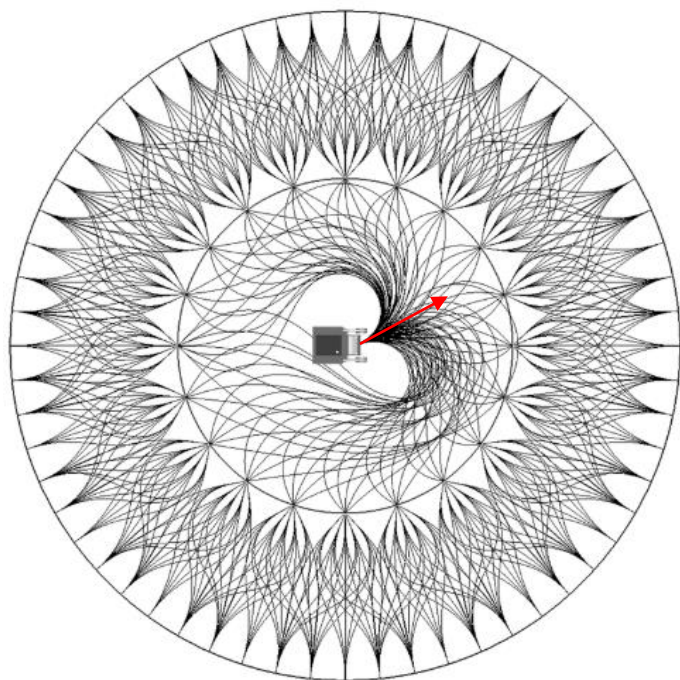
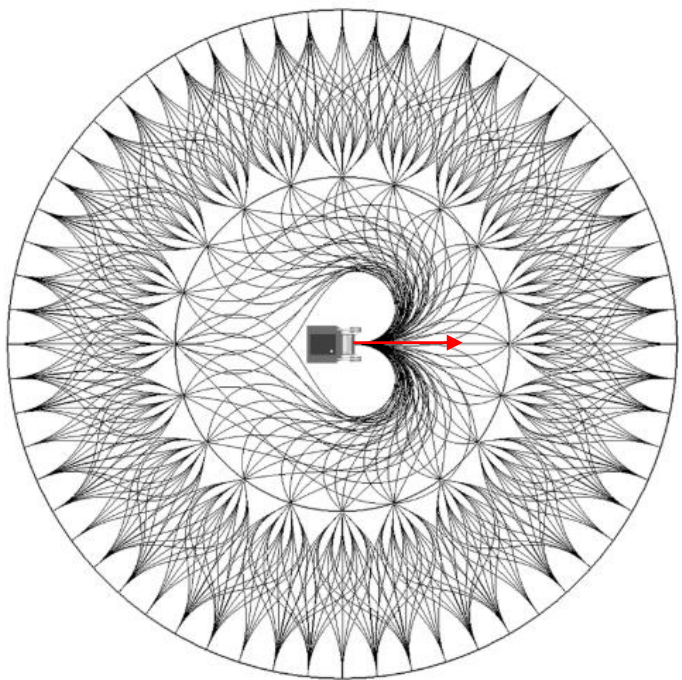
- 1) Select a $s \in T$
- 2) Pick v, \emptyset and τ
- 3) Integrate motion from s
- 4) Add result if collision-free



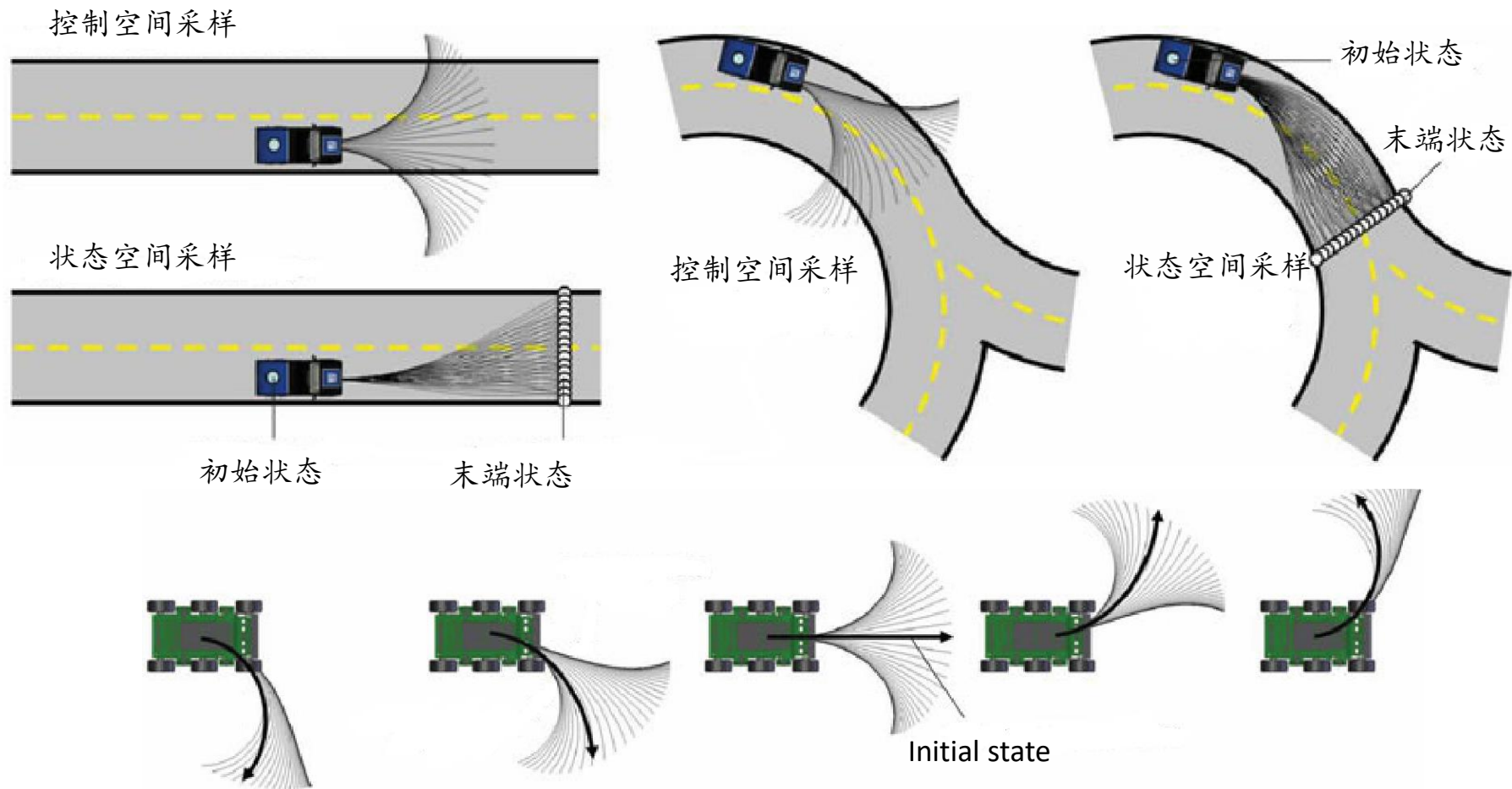
建立 lattice graph:

- 8个相邻节点，找到了可行的路
- 向外延伸到24个邻居.

Reeds-Shepp Car Model



- 2层 lattice graph
- 只有第一层不一样
- 初始状态不同



- 轨迹在初始角速度的方向上密度更大。
- 几个不同输入的输出非常相似。



Boundary Value Problem



边值问题 Boundary Value Problem (BVP)

浙江大学 · 控制学院

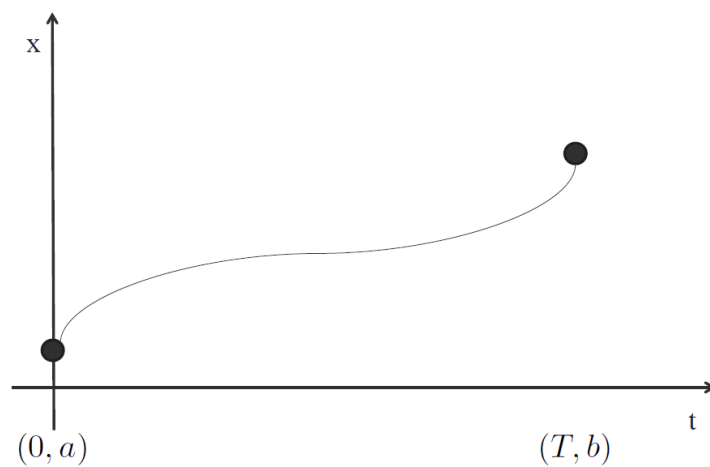
- BVP是状态空间采样规划的基础
- 没有通用的解决方案
- 复杂的数值优化



- 设计一条轨迹 $x(t)$ 使得:

- $x(0) = a$

- $x(T) = b$





优化目标:

$$J = \underbrace{h(s(T))}_{\text{最终状态}} + \underbrace{\int_0^T g(s(t), u(t)) \cdot dt}_{\text{转移代价}}$$

最终状态

转移代价

写出哈密顿量和状态

$$H(s, u, \lambda) = g(s, u) + \lambda^T f(s, u)$$

$$\lambda = (\lambda_1, \lambda_2, \lambda_3)$$

定义:

s^* : 最优状态

u^* : 最优输入

最小值原理

$$\dot{s}^*(t) = f(s^*(t), u^*(t)), \quad \text{given: } s^*(0) = s(0)$$

$\lambda(t)$ 是如下公式的解:

$$\dot{\lambda}(t) = -\nabla_s H(s^*(t), u^*(t), \lambda(t))$$

有着边值条件为

$$\lambda(T) = \nabla h(s^*(T))$$

最优控制输入为

$$u^*(t) = \arg \min_{u(t)} H(s^*(t), u(t), \lambda(t))$$



Optimal Boundary Value Problem (OBVP)

建模

目标: 最小化jerk平方的积分

$$J_{\Sigma} = \sum_{k=1}^3 J_k, \quad J_k = \frac{1}{T} \int_0^T j_k(t)^2 dt.$$

状态: $s_k = (p_k, v_k, a_k)$ 输入: $u_k = j_k$

系统模型: $\dot{s}_k = f_s(s_k, u_k) = (v_k, a_k, j_k)$

求解

通过 **Pontryain's 最小值原理**, 我们引入协态:

$$\lambda = (\lambda_1, \lambda_2, \lambda_3)$$

定义哈密顿方程

$$\begin{aligned} H(s, u, \lambda) &= \frac{1}{T} j^2 + \lambda^T f_s(s, u) \\ &= \frac{1}{T} j^2 + \lambda_1 v + \lambda_2 a + \lambda_3 j \end{aligned}$$

最小值原理

$$\dot{s}^*(t) = f(s^*(t), u^*(t)), \quad \text{given: } s^*(0) = s(0)$$

$\lambda(t)$ 是如下公式的解:

$$\dot{\lambda}(t) = -\nabla_s H(s^*(t), u^*(t), \lambda(t))$$

有着边值条件为

$$\lambda(T) = \nabla h(s^*(T))$$

最优控制输入为

$$u^*(t) = \arg \min_{u(t)} H(s^*(t), u(t), \lambda(t))$$



建模

目标: 最小化jerk平方的积分

$$J_{\Sigma} = \sum_{k=1}^3 J_k, \quad J_k = \frac{1}{T} \int_0^T j_k(t)^2 dt.$$

状态: $s_k = (p_k, v_k, a_k)$ 输入: $u_k = j_k$

系统模型: $\dot{s}_k = f_s(s_k, u_k) = (v_k, a_k, j_k)$

求解

通过 Pontryain's 最小值原理, 我们引入协态:

$$\lambda = (\lambda_1, \lambda_2, \lambda_3)$$

定义哈密顿方程

$$\begin{aligned} H(s, u, \lambda) &= \frac{1}{T} j^2 + \lambda^T f_s(s, u) \\ &= \frac{1}{T} j^2 + \lambda_1 v + \lambda_2 a + \lambda_3 j \end{aligned}$$

$$\dot{\lambda} = -\nabla_s H(\boxed{s^*}, \boxed{u^*}, \lambda) = (0, -\lambda_1, -\lambda_2)$$

最优状态

最优输入

协态可以被如下公式求解

$$\lambda(t) = \frac{1}{T} \begin{bmatrix} -2\alpha \\ 2\alpha t + 2\beta \\ -\alpha t^2 - 2\beta t - 2\gamma \end{bmatrix}$$

最优控制输入可被如下公式求解

$$u^*(t) = j^*(t) = \arg \min_{j(t)} H(s^*(t), j(t), \lambda(t))$$

$$= \frac{1}{2} \alpha t^2 + \beta t + \gamma$$

最优状态轨迹可被如下公式求解

$$s^*(t) = \begin{bmatrix} \frac{\alpha}{120} t^5 + \frac{\beta}{24} t^4 + \frac{\gamma}{6} t^3 + \frac{a_0}{2} t^2 + v_0 t + p_0 \\ \frac{\alpha}{24} t^4 + \frac{\beta}{6} t^3 + \frac{\gamma}{2} t^2 + a_0 t + v_0 \\ \frac{\alpha}{6} t^3 + \frac{\beta}{2} t^2 + \gamma t + a_0 \end{bmatrix}$$

初始状态: $s(0) = (p_0, v_0, a_0)$



代价函数

$$J = \gamma^2 + \beta\gamma T + \frac{1}{3}\beta^2 T^2 + \frac{1}{3}\alpha\gamma T^2 + \frac{1}{4}\alpha\beta T^3 + \frac{1}{20}\alpha^2 T^4$$

α, β, γ 被如下公式求解:

$$\begin{bmatrix} \frac{1}{120}T^5 & \frac{1}{24}T^4 & \frac{1}{6}T^3 \\ \frac{1}{24}T^4 & \frac{1}{6}T^3 & \frac{1}{2}T^2 \\ \frac{1}{6}T^3 & \frac{1}{2}T^2 & T \end{bmatrix} \begin{bmatrix} \alpha \\ \beta \\ \gamma \end{bmatrix} = \begin{bmatrix} \Delta p \\ \Delta v \\ \Delta a \end{bmatrix}$$

$$\begin{bmatrix} \Delta p \\ \Delta v \\ \Delta a \end{bmatrix} = \begin{bmatrix} p_f - p_0 - v_0 T - \frac{1}{2}a_0 T^2 \\ v_f - v_0 - a_0 T \\ a_f - a_0 \end{bmatrix}$$

J 仅由 T 和已知的边界状态决定, 因此我们甚至可以获得最优的 T !

How?

多项式函数求根问题

$$\begin{bmatrix} \alpha \\ \beta \\ \gamma \end{bmatrix} = \frac{1}{T^5} \begin{bmatrix} 720 & -360T & 60T^2 \\ -360T & 168T^2 & -24T^3 \\ 60T^2 & -24T^3 & 3T^4 \end{bmatrix} \begin{bmatrix} \Delta p \\ \Delta v \\ \Delta a \end{bmatrix}$$

这个推导适用于固定的最终状态: $s(T) = (p_f, v_f, a_f)$



- 前文是关于最终状态固定的问题.
- 那么当最终状态是 (部分) 自由的时候如何处理?
- 来关注一下边界条件在哪里?

$$\lambda(T) = \nabla h(s^*(T))$$

对于最终状态固定的问题

$$h(s(T)) = \begin{cases} 0, & \text{if } s = s(T) \\ \infty, & \text{otherwise} \end{cases} \quad \text{不可微}$$

因此我们放弃这个条件,
用已知的 $x(T)$ 来直接求解未知变量

$$s^*(t) = \begin{bmatrix} \frac{\alpha}{120}t^5 + \frac{\beta}{24}t^4 + \frac{\gamma}{6}t^3 + \frac{a_0}{2}t^2 + v_0t + p_0 \\ \frac{\alpha}{24}t^4 + \frac{\beta}{6}t^3 + \frac{\gamma}{2}t^2 + a_0t + v_0 \\ \frac{\alpha}{6}t^3 + \frac{\beta}{2}t^2 + \gamma t + a_0 \end{bmatrix}$$

对于 (部分) 自由最终条件的问题

$$\text{given } s_i(T), i \in I$$

我们对其他协态有边界条件

$$\lambda_j(T) = \frac{\partial h(s^*(T))}{\partial s_j}, \text{ for } j \neq i$$

然后求解即可



边值问题 Boundary Value Problem (BVP)

浙江大学 · 控制学院

----- 边值条件

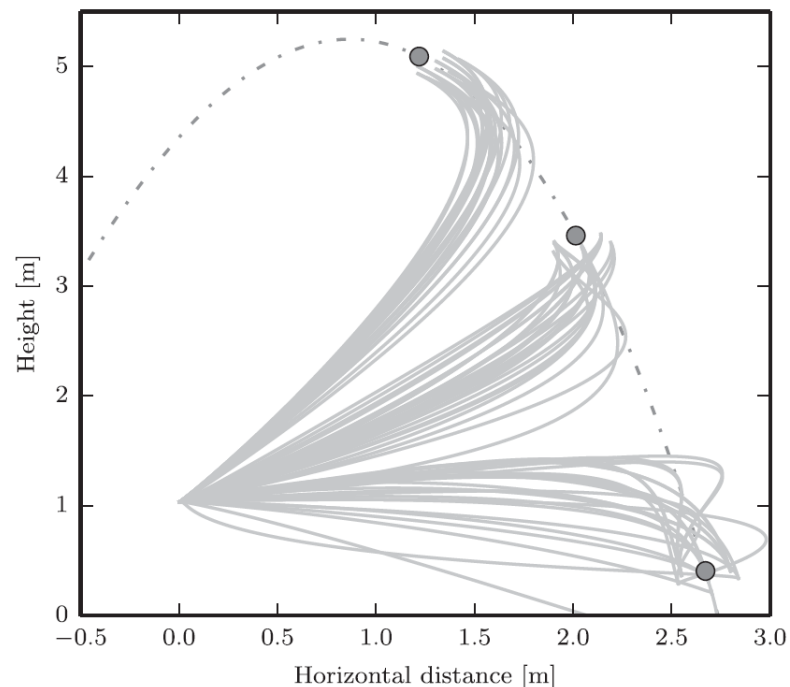
这里只考虑边值条件

BVP经常被应用于基于运动基元的轨迹规划方法

我们的最优条件显示，解为

一个 5 阶多项式 当 $s = 3$ (minimum jerk)

一个 7 阶多项式 当 $s = 4$ (minimum snap)





Boundary-intermediate Value Problem (BIVP)

边值条件:

中值条件:

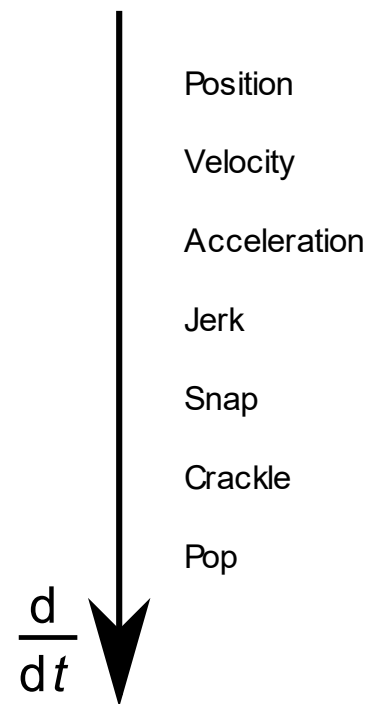


BIVP经常被应用于基于运动基元的轨迹规划方法

我们的最优条件表明, 只有中间路径点条件下

分段5阶多项式轨迹有着连续的snap当 $s=3$ (minimum jerk trajectory)

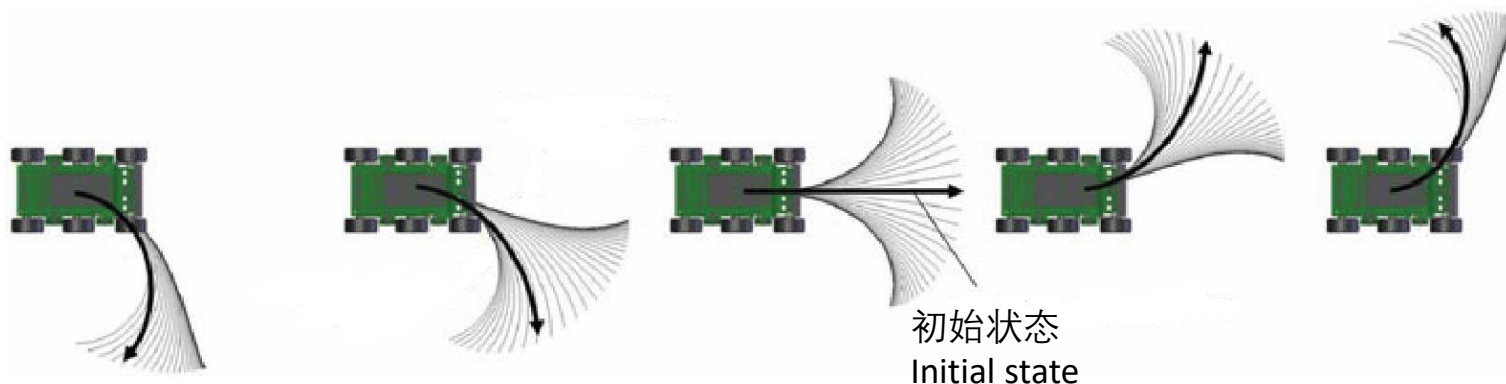
分段7阶多项式轨迹有着连续的pop 当 $s=4$ (minimum snap trajectory)

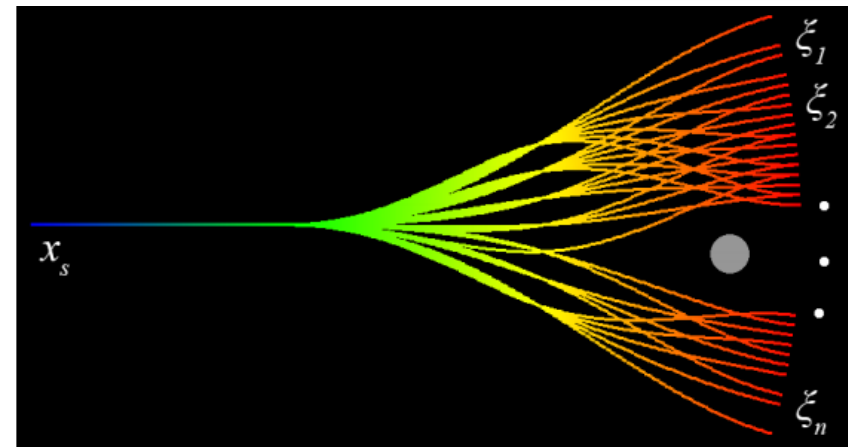
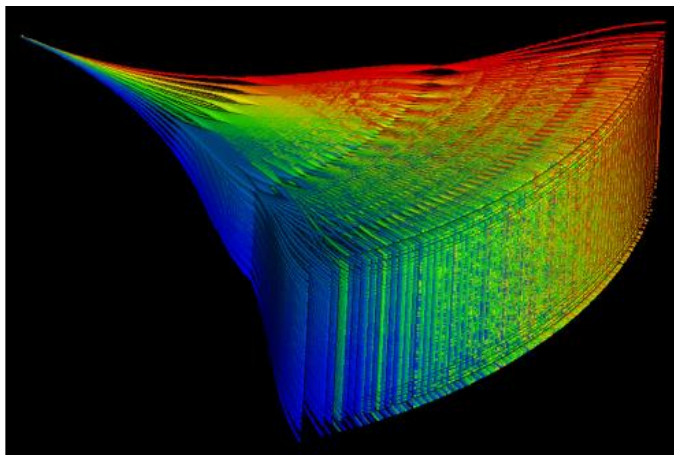
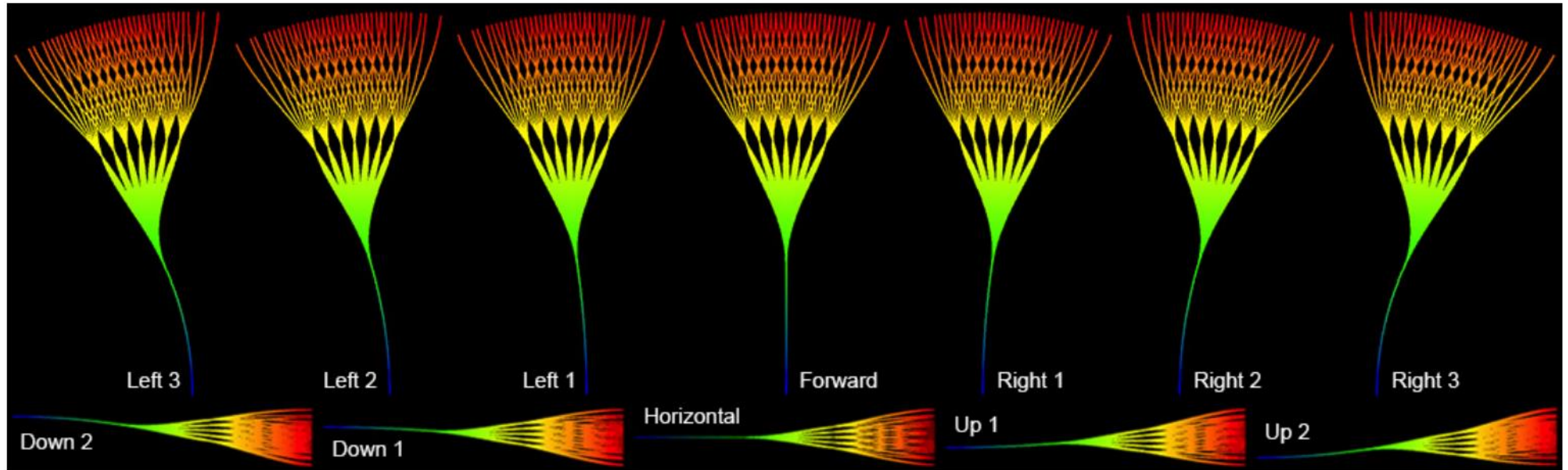




- 单层lattice planning是一种常见的用于局部避障的选择
- 不需要图搜索，只需要轨迹选择
- 基于多项成本函数对每个轨迹进行评级

碰撞风险、信息获取、舒适度、能量等





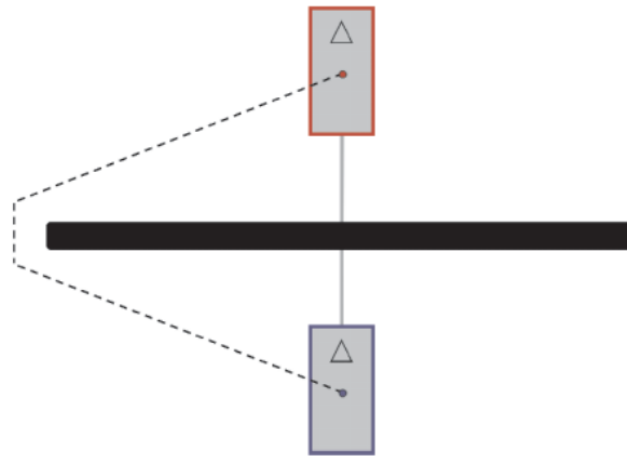
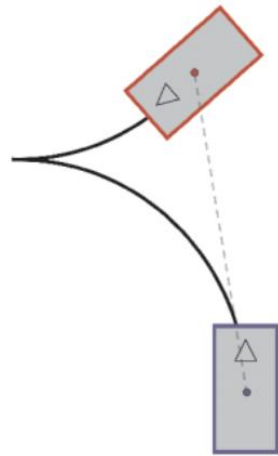


启发式函数



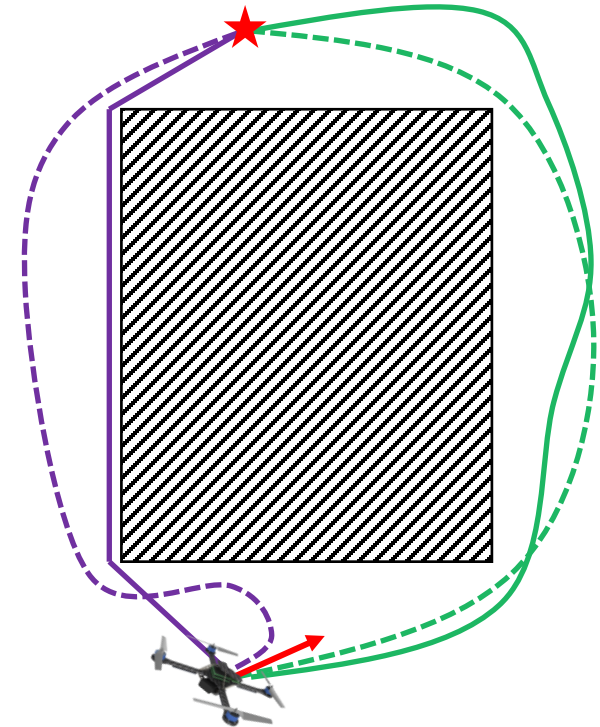
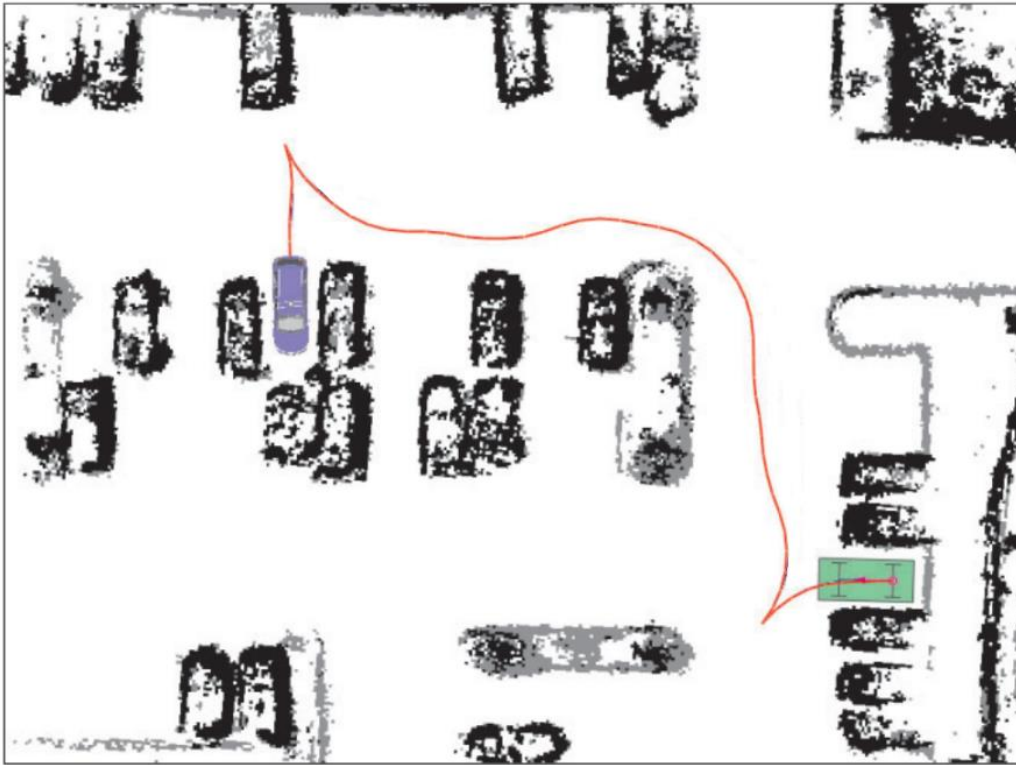
问题简化

- 不考虑动力学
- 不考虑障碍物





对于每个节点（状态），不考虑动力学模型，搜索其最短路径

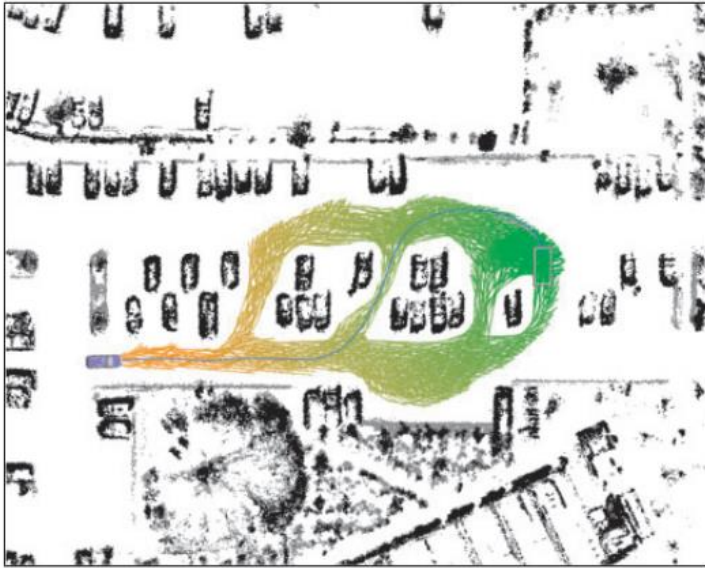




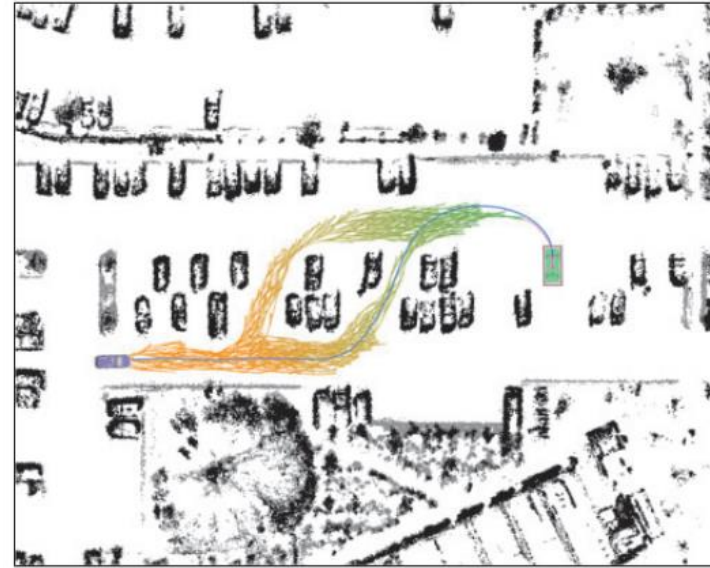
对于每个节点（状态），将OBVP作为启发式函数求解到规划目标状态 h

- Maintain a **priority queue** to store all the nodes to be expanded
- The heuristic function $h(n)$ for all nodes are pre-defined
- The priority queue is initialized with the start state X_S
- Assign $g(X_S)=0$, and $g(n)=\text{infinite}$ for all other nodes in the graph
- Loop
 - If the queue is empty, return FALSE; break;
 - **Remove** the node "n" with the lowest $f(n)=g(n)+h(n)$ from the priority queue
 - Mark node "n" as **expanded**
 - If the node "n" is the goal state, return TRUE; break;
 - For all **unexpanded** neighbors "m" of node "n"
 - If $g(m) = \text{infinite}$
 - $g(m) = g(n) + C_{nm}$
 - Push node "m" into the queue
 - If $g(m) > g(n) + C_{nm}$
 - $g(m) = g(n) + C_{nm}$
 - end
- End Loop

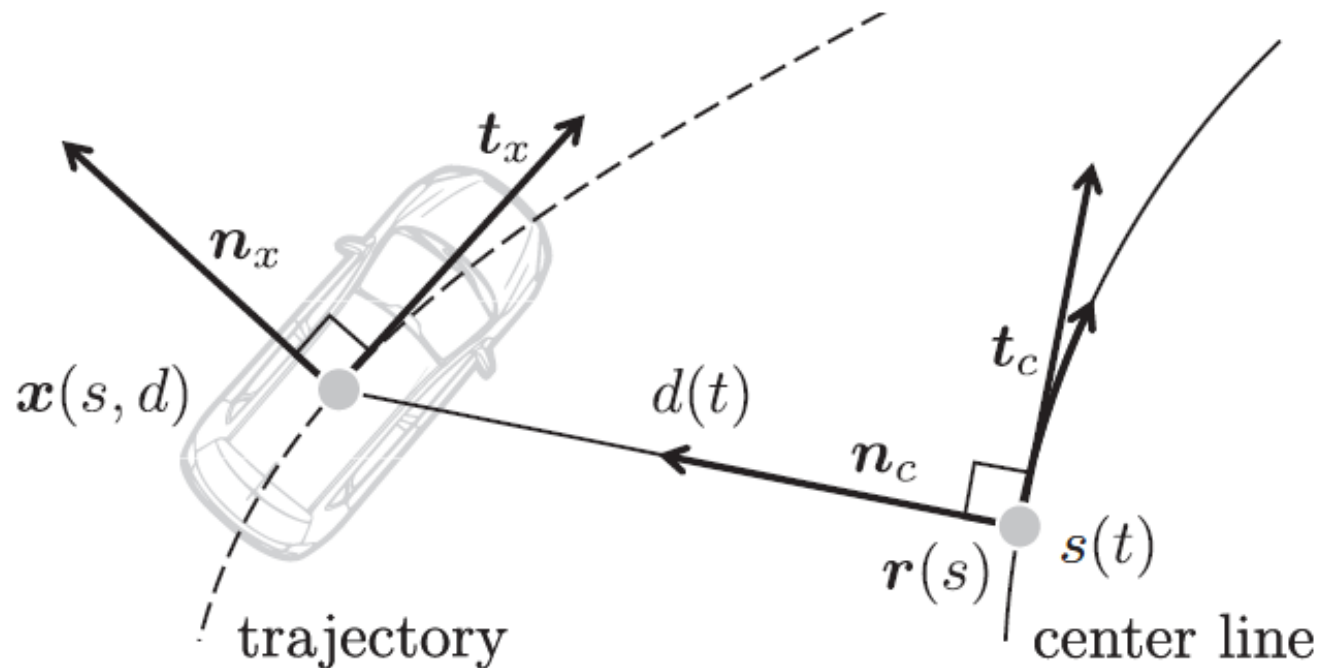
Accumulate cost



欧式二维距离



non-holonomic-without-obstacles



这里只讨论横向规划，
径向规划请参考：

- 动态坐标系
- 切向和径向独立
- 对于车道跟随问题
- 是解耦的

- ✓ 运动/控制参数化
- ✓ : 五次多项式

$$d(t) = a_{d0} + a_{d1}t + a_{d2}t^2 + a_{d3}t^3 + a_{d4}t^4 + a_{d5}t^5$$

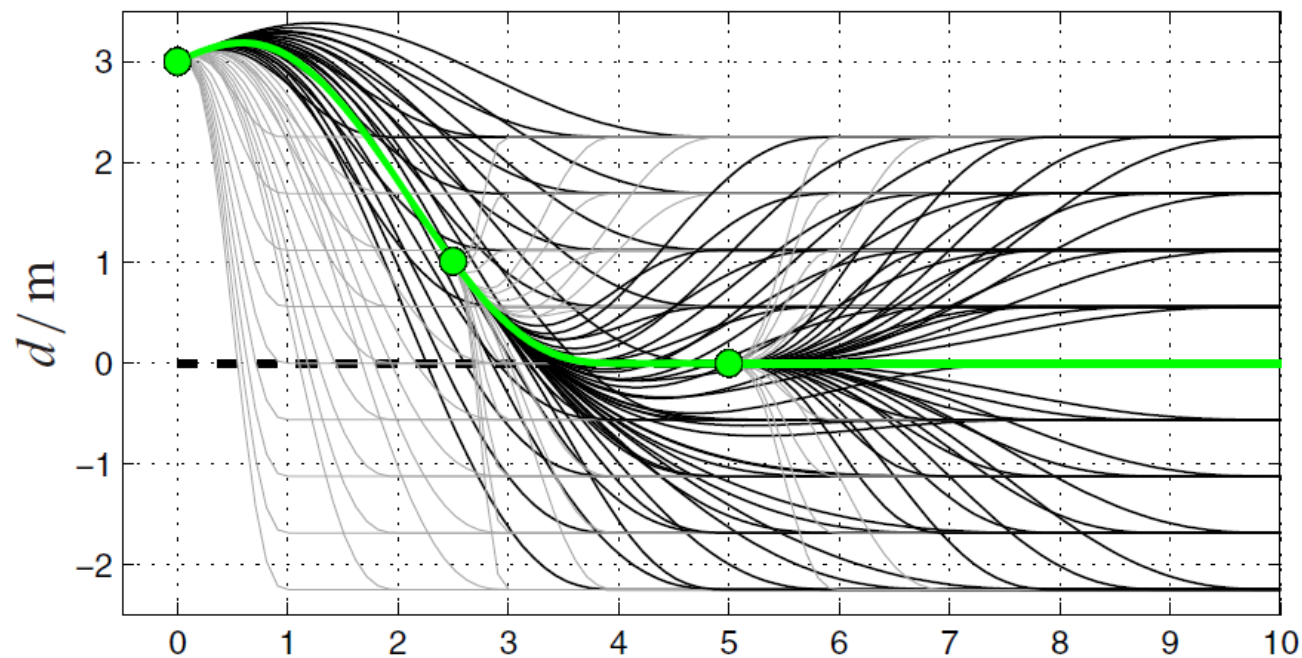
$$s(t) = a_{s0} + a_{s1}t + a_{s2}t^2 + a_{s3}t^3 + a_{s4}t^4 + a_{s5}t^5$$

- ✓ 解最优控制问题



Optimal Trajectory Generation for Dynamic Street Scenarios in a Frenet Frame, Moritz Werling, Julius Ziegler, Sören Kammel, and Sebastian Thrun

Optimal trajectories for time-critical street scenarios using discretized terminal manifolds, Moritz Werling, Sören Kammel, Julius Ziegler and Lutz Gröll



Lateral trajectory

$$\begin{bmatrix} T^3 & T^4 & T^5 \\ 3T^2 & 4T^3 & 5T^4 \\ 6T & 12T^2 & 20T^3 \end{bmatrix} \begin{bmatrix} a_{d3} \\ a_{d4} \\ a_{d5} \end{bmatrix} = \begin{bmatrix} \Delta p \\ \Delta v \\ \Delta a \end{bmatrix} \quad \begin{bmatrix} \Delta p \\ \Delta v \\ \Delta a \end{bmatrix} = \begin{bmatrix} d_f - (d_0 + \dot{d}_0 T + \frac{1}{2} \ddot{d}_0 T^2) \\ \dot{d}_f - (\dot{d}_0 + \ddot{d}_0 T) \\ \ddot{d}_f - \ddot{d}_0 \end{bmatrix}$$

$$d(t) = a_{d0} + a_{d1}t + a_{d2}t^2 + a_{d3}t^3 + a_{d4}t^4 + a_{d5}t^5$$

初始条件:

$$D(0) = \begin{pmatrix} d_0 & \dot{d}_0 & \ddot{d}_0 \end{pmatrix}$$

终止条件:

$$D(T) = \begin{pmatrix} d_f & \dot{d}_f & \ddot{d}_f \end{pmatrix}$$

车道跟随:

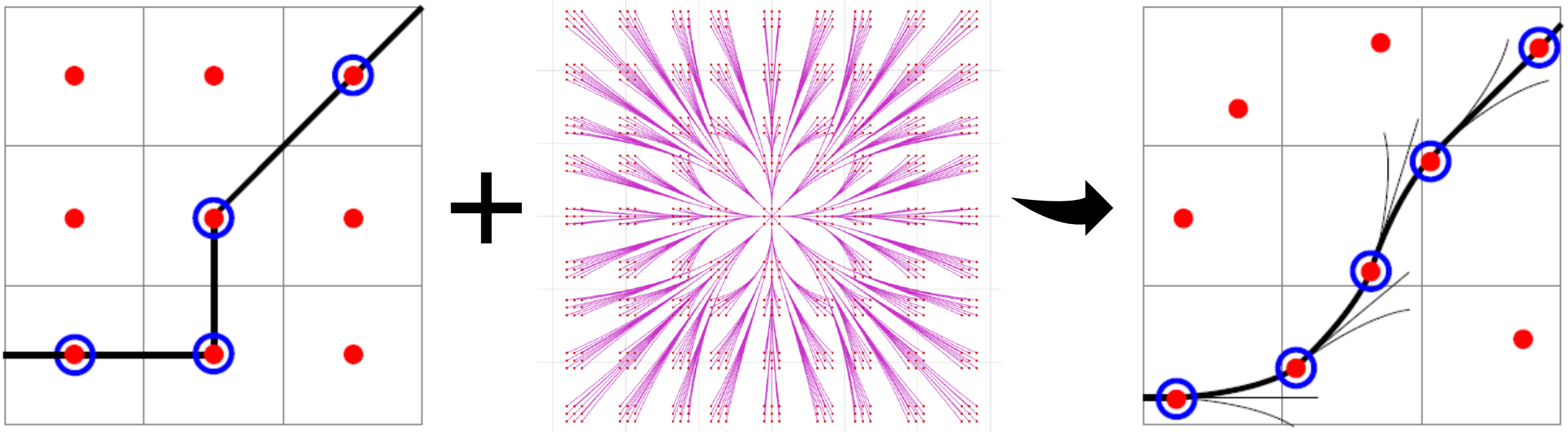
$$D(T) = \begin{pmatrix} d_f & 0 & 0 \end{pmatrix}$$



Hybrid A* Workflow



- 在线生成密集栅格需要花费太多时间
- 聚集，修剪一些怎么样？
- 定义剪枝的规则，利用栅格地图





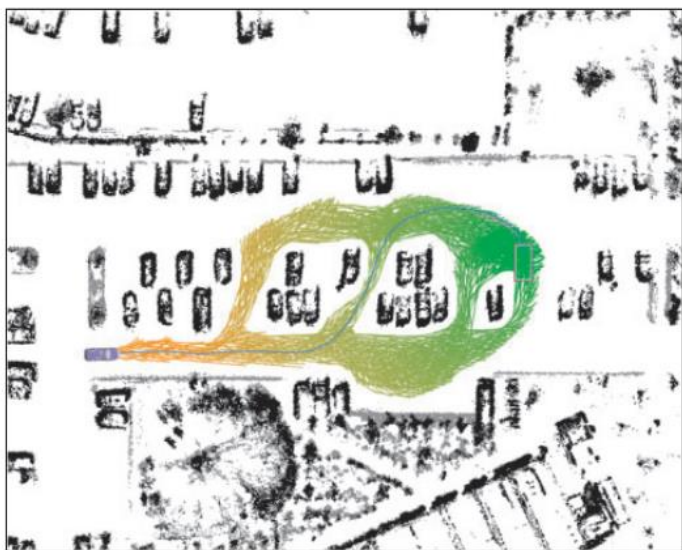
- Maintain a **priority queue** to store all the nodes to be expanded
- The heuristic function $h(n)$ for all nodes are pre-defined
- The priority queue is initialized with the start state X_s
- Assign $g(X_s)=0$, and $g(n)=\text{infinite}$ for all other nodes in the graph
- Loop
 - If the queue is empty, return FALSE; break;
 - **Remove** the node "n" with the lowest $f(n)=g(n)+h(n)$ from the priority queue
 - Mark node "n" as **expanded**
 - If the node "n" is the goal state, return TRUE; break;
 - For all **unexpanded** neighbors "m" of node "n"
 - If $g(m) = \text{infinite}$
 - $g(m) = g(n) + C_{nm}$
 - Push node "m" into the queue
 - If $g(m) > g(n) + C_{nm}$
 - $g(m) = g(n) + C_{nm}$
 - end
- End Loop

选择合适的启发式方法

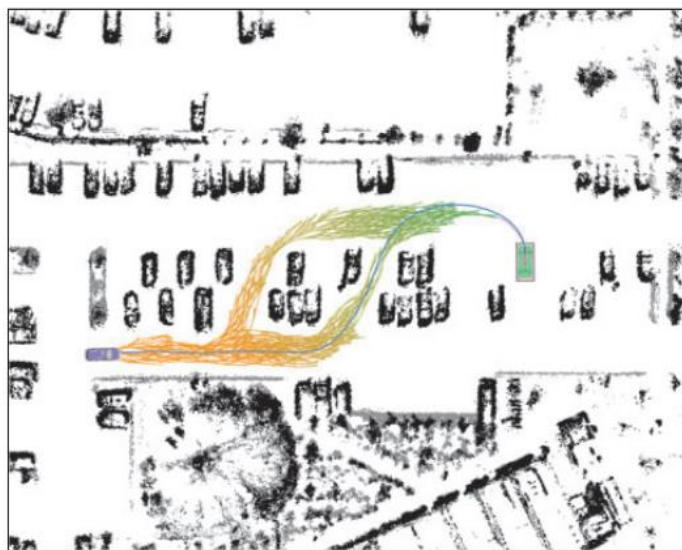
通过对节点中的状态进行前向积分来查找邻居

记录节点 "m" 内部的状态

更新节点 "m" 内部的状态



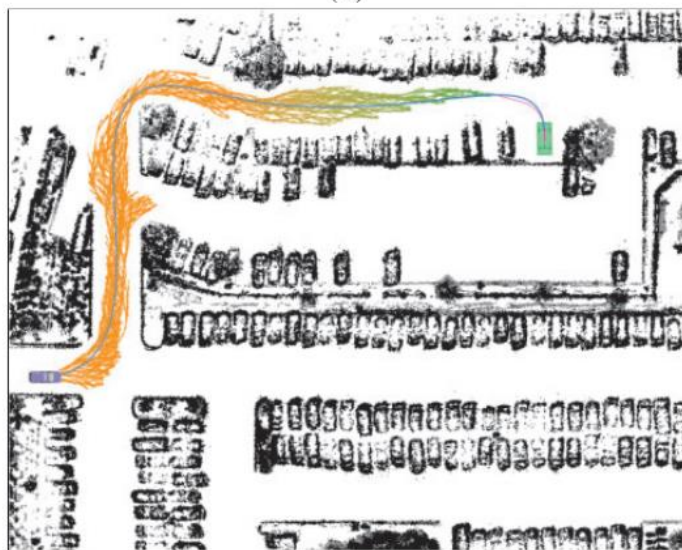
(a)



(b)



(c)



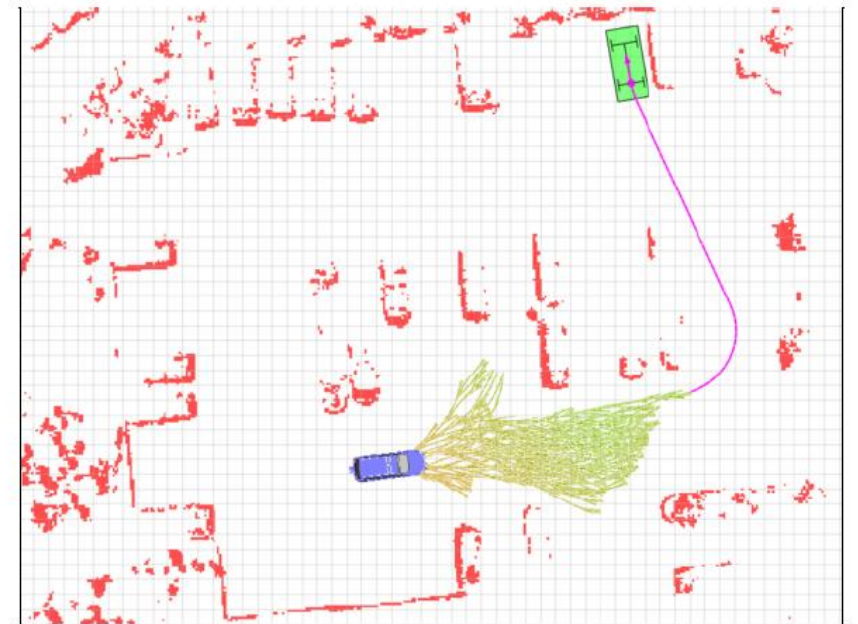
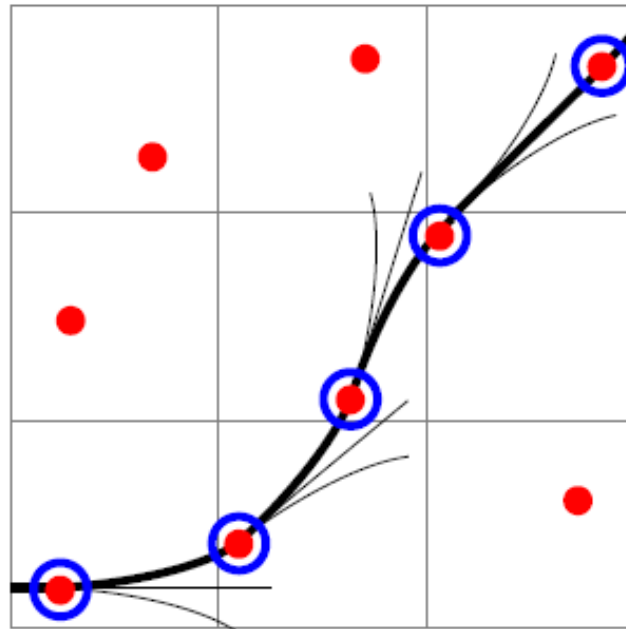
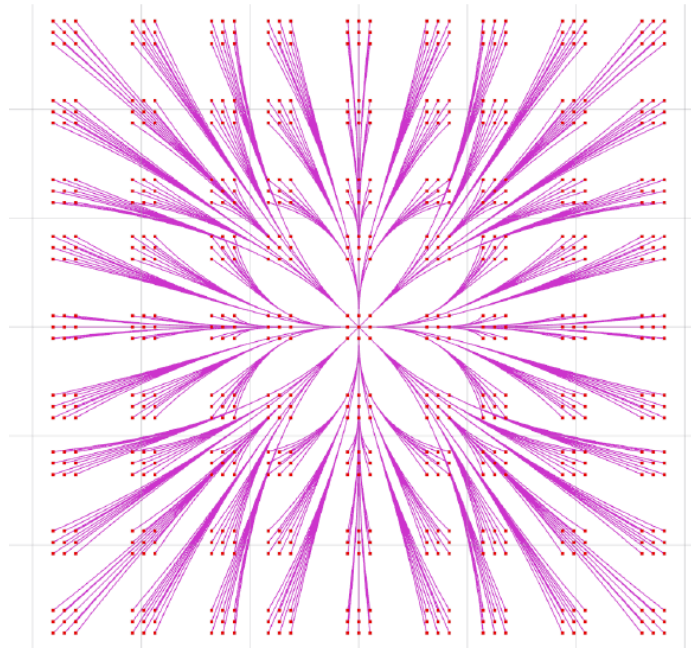
(d)

(a) 2D欧式距离

(b) 不考虑障碍物

(c) 不考虑障碍的非完整性，在死胡同中表现不佳

(d) 不考虑障碍 + (2D最短路径)



一次性启发 **One shot**



Kinodynamic RRT*



Similar to RRT* but different in details

Algorithm 2: RRT Algorithm

Input: $\mathcal{M}, x_{init}, x_{goal}$

Result: A path Γ from x_{init} to x_{goal}

$\mathcal{T}.init();$

for $i = 1$ **to** n **do**

$x_{rand} \leftarrow Sample(\mathcal{M});$

$x_{near} \leftarrow Near(x_{rand}, \mathcal{T});$

$x_{new} \leftarrow Steer(x_{rand}, x_{near}, StepSize);$

if $CollisionFree(x_{new})$ **then**

$X_{near} \leftarrow NearC(\mathcal{T}, x_{new});$

$x_{min} \leftarrow ChooseParent(X_{near}, x_{near}, x_{new});$

$\mathcal{T}.addNodeEdge(x_{min}, x_{new});$

$\mathcal{T}.rewire();$

Kinodynamic RRT*

Input: E, x_{init}, x_{goal}

Output: A trajectory T from x_{init} to x_{goal}

$T.init();$

for $i = 1$ **to** n **do**

$x_{rand} \leftarrow Sample(E);$

$X_{near} \leftarrow Near(T, x_{rand});$

$x_{min} \leftarrow ChooseParent(X_{near}, x_{rand});$

$T.addNode(x_{rand});$

$T.rewire();$



1. How to “Sample”

Kinodynamic RRT*

Input: E, x_init, x_goal

Output: A trajectory T from x_init to x_goal

T.init();

for i = 1 to n **do**

 x_rand ← Sample(E);

 X_near ← Near(T, x_rand);

 x_min ← ChooseParent(X_near, x_rand);

 T.addNode(x_rand);

 T.rewire();

LTI 系统状态空间方程：

$$\dot{x}(t) = Ax(t) + Bu(t) + c$$

如双积分系统：

$$x = \begin{bmatrix} p \\ v \end{bmatrix}, A = \begin{bmatrix} 0 & I \\ 0 & 0 \end{bmatrix}, B = \begin{bmatrix} 0 \\ I \end{bmatrix}$$

不像RRT 只在位置空间进行采样，还需要
采样速度

sample in full state space.



2. How to define “Near”

Kinodynamic RRT*

Input: $E, x_{\text{init}}, x_{\text{goal}}$

Output: A trajectory T from x_{init} to x_{goal}

$T.\text{init}();$

for $i = 1$ to n **do**

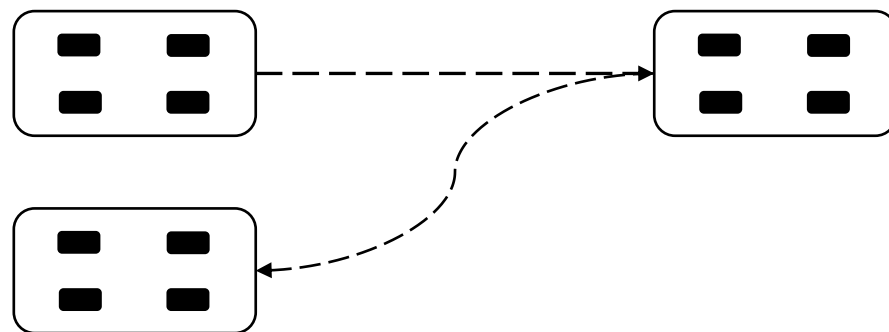
$x_{\text{rand}} \leftarrow \text{Sample}(E);$

$X_{\text{near}} \leftarrow \text{Near}(T, x_{\text{rand}});$

$x_{\text{min}} \leftarrow \text{ChooseParent}(X_{\text{near}}, x_{\text{rand}});$

$T.\text{addNode}(x_{\text{rand}});$

$T.\text{rewire}();$



小车不能侧向移动

- 如果没有运动约束，可以使用欧氏距离或曼哈顿距离。
- 在具有运动约束的状态空间中，引入最优控制。



2. How to define “Near”

如何要实现**最优控制**：可以定义状态转移的 **cost functions**

$$c[\pi] = \int_0^{\tau} (1 + u(t)^T R u(t)) dt \quad \text{通常，采用时间-能量最优的二次形式。}$$

如果从一个状态转移到另一个状态的 **cost** 很低，则两个状态接近。

（注意：如果状态反向转换，cost 可能会有所不同）



2. How to define “Near”

$$c[\pi] = \int_0^{\tau} (1 + u(t)^T R u(t)) dt$$

如果知道到达时间 τ 和控制输入 $u(t)$ ，就可以计算cost。

经典的最优控制解决方案。(OBVP)



2. How to define “Near”

➤ 固定终点状态 x_1 ，固定到达时间 τ

最优控制输入 $u^*(t)$

$$u^*(t) = R^{-1}B^T \exp[A^T(\tau - t)]G(\tau)^{-1}[x_1 - \bar{x}(\tau)].$$

其中 $G(t)$ 权重:

$$G(t) = \int_0^t \exp[A(t - t')]BR^{-1}B^T \exp[A^T(t - t')]dt'.$$

李雅普诺夫方程方程的解:

$$\dot{G}(t) = AG(t) + G(t)A^T + BR^{-1}B^T, G(0) = 0.$$



2. How to define “Near”

- 固定终点状态 x_1 ，固定到达时间 τ

$$u^*(t) = R^{-1}B^T \exp[A^T(\tau - t)]G(\tau)^{-1}[x_1 - \bar{x}(\tau)].$$

$\bar{x}(t)$ 为如果没有应用控制输入， x 在 t 时的状态：

$$\bar{x}(t) = \exp(At)x_0 + \int_0^t \exp[A(t - t')]cdt'.$$

微分方程的解：

$$\dot{\bar{x}}(t) = A\bar{x}(t) + c, \bar{x}(0) = x_0$$



2. How to define “Near”

- 固定终点状态 x_1 ，改变到达时间 τ

如果要找到最佳到达时间 τ ，
可以通过改变控制输入 $u^*(t)$ ，评估cost function $c[\pi]$ 来实现：

$$c[\tau] = \tau + [x_1 - \bar{x}(\tau)]^T G(t)^{-1} [x_1 - \bar{x}(\tau)].$$

最佳到达时间 τ 可以通过 $c[\tau]$ 对 τ 求导得到：

$$\dot{c}[\tau] = 1 - 2(Ax_1 + c)^T d(\tau) - d(\tau)^T B R^{-1} B^T d(\tau).$$

其中：

$$d(\tau) = G(t)^{-1} [x_1 - \bar{x}(\tau)].$$



2. How to define “Near”

➤ 固定终点状态 x_1 ，改变到达时间 τ

求解 τ^*

$$\dot{c}[\tau] = 0.$$

$c[\tau]$ 可能有多个局部最小值

对于双积分系统， $c[\tau]$ 为4阶多项式。

给定最佳到达时间 τ^* ,

问题转变为固定终点状态 x_1 ，固定终点时间 τ 问题。



3. How to “ChooseParent”

Kinodynamic RRT*

Input: $E, x_{\text{init}}, x_{\text{goal}}$

Output: A trajectory T from x_{init} to x_{goal}

$T.\text{init}();$

for $i = 1$ to n **do**

$x_{\text{rand}} \leftarrow \text{Sample}(E);$

$X_{\text{near}} \leftarrow \text{Near}(T, x_{\text{rand}});$

$x_{\text{min}} \leftarrow \text{ChooseParent}(X_{\text{near}}, x_{\text{rand}});$

$T.\text{addNode}(x);$

$T.\text{rewire}();$

在高维空间对一个随机状态进行采样，计算从树中当前节点到采样状态的控制输入和 cost 。

选择一个 cost 最低的，并检查 $x(t)$ 和 $u(t)$ 在边界内。

如果找不到合格的父节点，对另一个状态进行采样。



4. How to find near nodes efficiently

Kinodynamic RRT*

Input: E, x_init, x_goal

Output: A trajectory T from x_init to x_goal

T.init();

for i = 1 to n **do**

 x_rand \leftarrow Sample(E);

 X_near \leftarrow Near(T, x_rand);

 x_min \leftarrow ChooseParent(X_near, x_rand);

 T.addNode(x);

 T.rewire();

每次采样一个随机状态 x_{rand} ,

需要检查树中的每个节点以找到其父节点,
即为每个节点求解OBVP,

这是不有效的。



4. How to find near nodes efficiently

Kinodynamic RRT*

Input: E, x_init, x_goal

Output: A trajectory T from x_init to x_goal

T.init();

for i = 1 to n **do**

 x_rand \leftarrow Sample(E);

 X_near \leftarrow Near(T, x_rand);

 x_min \leftarrow ChooseParent(X_near, x_rand);

 T.addNode(x);

 T.rewire();

如果设置 **cost tolerance r** ,

可以计算当前状态的 **前向可达集**, 终止状态的 **向后可达集**

如果以kd树的形式存储节点, 就可以在树中进行范围查询。



4. How to find near nodes efficiently

$$c[\tau] = \tau + [x_1 - \bar{x}(\tau)]^T G(t)^{-1} [x_1 - \bar{x}(\tau)].$$

此公式描述了从状态 x_0 到状态 x_1 的cost，如何随着到达时间 τ 的变化而变化。

给定初始状态 x_0 、cost tolerance r 和到达时间 τ ， x_0 的前向可达集合为：

$$\begin{aligned} & \{x_1 \mid \tau + [x_1 - \bar{x}(\tau)]^T G(t)^{-1} [x_1 - \bar{x}(\tau)] < r\} \\ &= \left\{ x_1 \mid [x_1 - \bar{x}(\tau)]^T \frac{G(t)^{-1}}{r - \tau} [x_1 - \bar{x}(\tau)] < 1 \right\}. \\ &= \mathcal{E}[\bar{x}(\tau), G(t)(r - \tau)]. \end{aligned}$$



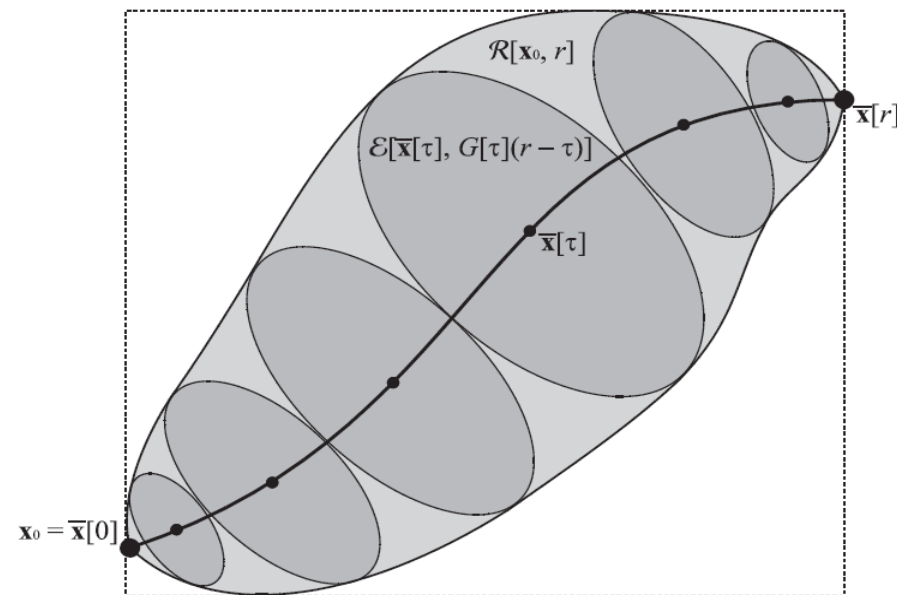
4. How to find near nodes efficiently

$$\begin{aligned} & \{x_1 \mid \tau + [x_1 - \bar{x}(\tau)]^T G(t)^{-1} [x_1 - \bar{x}(\tau)] < r\} \\ &= \left\{x_1 \mid [x_1 - \bar{x}(\tau)]^T \frac{G(t)^{-1}}{r - \tau} [x_1 - \bar{x}(\tau)] < 1\right\}. \\ &= \mathcal{E}[\bar{x}(\tau), G(t)(r - \tau)]. \end{aligned}$$

其中 $\mathcal{E}[x, M]$ 是一个具有中心 x 和正定权重矩阵 M 的
椭球体，可以定义为：

$$\mathcal{E}[x, M] = \{x' \mid (x' - x)^T M^{-1} (x' - x) < 1\}.$$

因此，前向可达集是所有可能到达时间 τ 的高维椭球体的并集



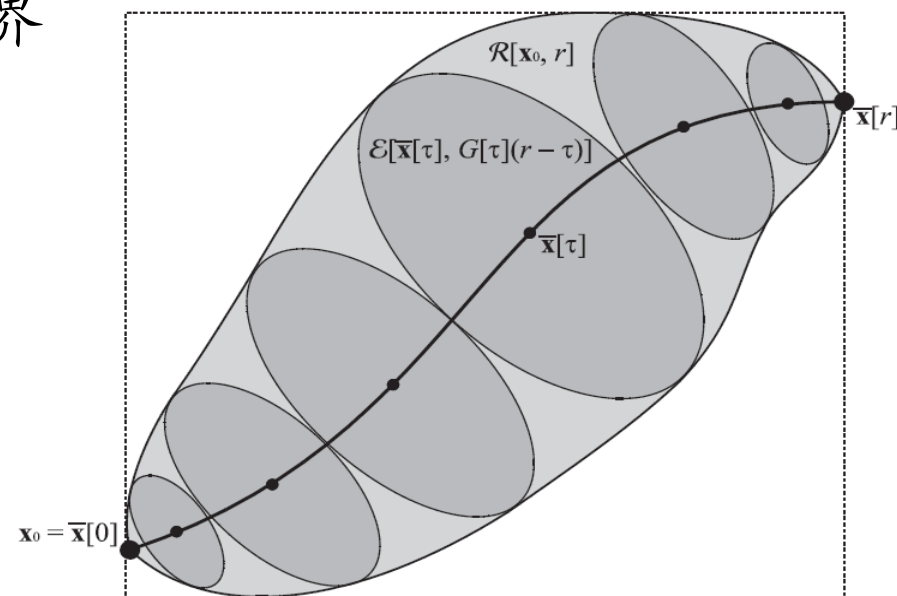


4. How to find near nodes efficiently

问题简化：，

对几个 τ 进行采样，为每个 τ 计算椭球的轴对齐边界框，更新每个维度中的最大值和最小值：

$$\prod_{k=1}^n \left[\min\{0 < \tau < r\}(\bar{x}(\tau)_k - \sqrt{G[\tau]_{(k,k)}(r - \tau)}), \right. \\ \left. \max\{0 < \tau < r\}(\bar{x}(\tau)_k + \sqrt{G[\tau]_{(k,k)}(r - \tau)}) \right].$$



向后可达集的计算类似。



4. How to find near nodes efficiently

Kinodynamic RRT*

Input: E, x_init, x_goal

Output: A trajectory T from x_init to x_goal

T.init();

for i = 1 to n **do**

 x_rand \leftarrow Sample(E);

 X_near \leftarrow Near(T, x_rand);

 x_min \leftarrow ChooseParent(X_near, x_rand);

 T.addNode(x);

 T.rewire();

当进行邻居节点查询和选择父节点时，

可以从 x_{rand} 的后向可达集中找到 X_{near} 。



5. How to “Rewire”

Kinodynamic RRT*

Input: E, x_init, x_goal

Output: A trajectory T from x_init to x_goal

T.init();

for i = 1 to n **do**

 x_rand \leftarrow Sample(E);

 X_near \leftarrow Near(T, x_rand);

 x_min \leftarrow ChooseParent(X_near, x_rand);

 T.addNode(x);

 T.rewire();

当 “Rewire” 时，

可以计算 x_{rand} 的前向可达集，并求解OBVPs。